قياس القطع العرضي النيوتروني لبعض تفاعلات (n,p) باستخدام

المولد النيوتروني و المصدر النيوتروني ²⁴¹Am\Be

محمود أحمد عليوي

وزارة التعليم العالي والبحث العلمي

جامعة تكريت-كلية العلوم

العراق- صلاح الدين

شاكر محمود الجبوري وزارة التعليم العالي والبحث العلمي كلية مدينة العلم الجامعة / العراق- بغداد

سعد صالح داود، عدنان حافظ مربط وزارة العلوم التكنلوجيا العراق بغداد

الخلاصة

تم قياس متوسط المقاطع العرضية للتفاعلات: 24 Mg(n,p) 24 Na , 27 AI (n,p) 27 Mg : للتفاعلات المتواطع العرضية التنشيط 28 Si(n,p) 28 AI, 52 Cr (n,p) 56 Pe(n,p) 56 Mn , 58 Ni(n,p) 58 Co النيوتروني كما تم حساب متوسط المقاطع العرضية لتلك التفاعلات باتباع اسلوب التحليل العددي لطيف المصدر النيوتروني 241 Am\Be بالاعتماد على الشدة النسبية للمصدر كونها دالة لطاقة النيوترون، وكذلك على قيم المقاطع العرضية المناضرة لتلك الطاقة المأخوذة من منحنيات المقاطع العرضية اضافة الى استخدام المولد النيوتروني.

استخدمت في الدراسة عناصر ومواد كيمياوية على هيئة مساحيق ورقائق، تم كبسها على هيئة أقراص قطر كل منها $1.6 \, \mathrm{cm}$ واستخدم كاشف أيوديد الصوديوم البئري حجم $8 \, \mathrm{cm}$ انج في الكشف عن اشعة كاما المنبعثة من عملية التنشيط وسجلت نبضات الكاشف باستخدام محلل متعدد القنوات $8 \, \mathrm{cm}$ تم قياس متوسط المقطع العرضي للتفاعلات سالفة الذكر نسبة الى تفاعل $8 \, \mathrm{cm}$ $1.0 \, \mathrm{cm}$ للنواتج ذات الاعمار النصفية الأطول.

أخذ في الحساب تصحيح الامتصاص الذاتي لأشعة كاما وقد تم حسابه عن طريق برنامج DSAC.

AVERAGE NEUTRON CROSS- SECTION MEASUREMENT FOR SOME (n,p) REACTIONS USING NEUTRON GENERATOR AND ²⁴¹Am\Be NEUTRON SOURCE

S. M. Al-jobori

M. Ahmed Ulaiwi

Saad Saleh Dawod, A.H.Murbat

Min. of Higher Education &

Scientific Research

Min. of Higher Education

Ministry of

Sciences&

Madenat Al-elem University College\

& Scientific Research\

Technologies,

Baghdad, Iraq

Tekrit College. Salaheldin Iraq.

\Baghdad, Iraq.

Abstract

The (n,p) reaction cross-section was measured for the reactions 27 Al (n,p) 27 Mg, 24 Mg(n,p) 24 Na, 58 Ni(n,p) 58 Co, 56 Fe(n,p) 56 Mn, 52 Cr(n,p)V 52 and 28 Si(n,p) 28 Al using the 241 Am\Be neutron generator as a neutron source. Also the average neutron cross-section has been determined for the above reactions.

High purity powder materials and foils were used in this study as pelts of 1.6 mm diameters. The neutron activation technique has been used for irradiation and measurement.

Well type 3"×3" Sodium Iodide Scintillation Detector has been used for Gamma radiation detection with MCA.

The average (n,p) reaction cross-section has been determined relative to the reaction $^{27}\text{Al}(n,p)^{27}\text{Mg}$ for short half life products. While the cross-section of the $^{27}\text{Al}(n,\alpha)^{24}\text{Na}$ reaction was used as a relative standard for medium and long half-life products.

The Gamma absorption has been taken into account using DSAC computer program.

المقدمة:

تعد تقنية التحليل بالتنشيط النيوتروني (NAA) المصدر النيوتروني 241 Am\Be إحدى طرق التحليل النوعي والكمي للعناصر. يمثل المصدر النيوتروني المصادر النظائرية الخاضعة لتفاعل 241 Am\Be ويستخدم هذا النوع من المصادر في تقنية التحليل بالتنشيط النيوتروني لمجال واسع من التطبيقات، وتشكل النيوترونات المنبعثة منه طيف طاقة، حيث يتراوح مدى طاقة النيوترونات السريعة لمصدر الأمريشيوم _ بريليوم ضمن حدود $^{2.6}$ Aux $^{2.$

تظهر أهمية دراسة تفاعل (n,p) للعناصر المدروسة في استخدامها كأعلومات نووية في منظومة المفاعلات. حيث يستخدم الحديد Fe وسبيكة الفولاذ في منظومة التبريد للمفاعل(2)، وسبيكة النيكل في المبادلات الحرارية للمفاعلات. كما ان دراسة التفاعلات المستحثة بالنيوترون للعناصر Cr, Fe و Ni هامة للتطبيقات العملية في المفاعل الاندماجي(1). أما تفاعل 28Si (n,p)²⁸Al فهو من أنجح التفاعلات وأكثرها حساسية في تحديد نسبة السيليكون في العينات وكذلك يعتبر من الشوائب في تصنيع الدروع البايولوجية للمفاعلات(3).

الجانب العملى:

تحضير العينات والتشعيع والقياس:

استخدم في تحضير العينات مساحيق لعناصر و مساحيق لمركبات كيمياوية عالية النقاوة (% 99.99)، حيث تم كبسها عند 10 ton\cm² على هيئة رقائق قطر كل منها 1.6 cm وبمختلف الاسماك. شععت العينات باستخدام المولد النيوتروني والمصدر النيوتروني والمصدر. وبمختلف الاسماك. شععت العينات باستخدام المولد النيوتروني والمصدر. وعالمه المصدر تناجه الكلي (yield) 4×10⁷n\sec (yield) على محيط المصدر تم وضع المصدر النيوتروني على ولعزل تأثيرات النيوترونات المستطارة من محيط المصدر تم وضع المصدر النيوتروني على بعد ms من الجدران في جميع الاتجاهات، كما تم عزل النيوترونات الحرارية المنبعثة من المصدر النيوتروني عن طريق وضع العينات داخل كبسولة من الكادميوم سمك جدرانها المصدر النيوتروني عن طريق وضع العينات داخل كبسولة من الكادميوم سمك عمر النصف المنويدات الناتجة عن التفاعل. تم قياس النشاط الاشعاعي للنويدات المتكونة باستخدام كاشف ايوديد الصوديوم البئري المطعم بالثاليوم MCA (T1) well—type « MCA . « MCA . »

الحسابات:

تم قياس متوسط المقاطع العرضية للتفاعلات باستخدام تقنية قياس اشعة كاما المتأخرة الناتجة من انحلال النويدات الناتجة من التفاعل باستخدام معادلة التنشيط الآتية (4):

$$D = \frac{m_j f N_A}{M \lambda_j} I_{\gamma} \alpha \rho_n \sigma K(1 - e^{-\lambda t_i}) \left(\frac{1}{1} \right) e^{-\lambda t_c} e^{-\lambda t_d}$$

يت ان تمثل كتلة العنصروf نسبة النظير في العنصر و الوزن الذري و ثابت الانحلال disintegration constant للنويدة الناتيجية من التفاعل، و I_{γ} عدد افوكاردو و $(1-e^{-\lambda t_i})$

$$(e^{-\lambda t_d}) \qquad (1 - e^{-\lambda t_c})$$

الشدة النسبية لأشعة كاما وع كفاءة الكشف و ϕ_n الفيض النيوتروني للمصدر و σ المقطع العرضي للتفاعل و حد تصحيح مدة التشعيع و حد تصحيح مدة القياس وحد تصحيح فترة الانتظار.

وقد أضيف كلحد التصحيح الذي يمثل معامل الامتصاص الذاتي لأشعة كاما عن طريق العينات نفسها وتم حسابه عن طريق برنامج DSAC (5) المكتوب بلغة الفورتران.

اعتمدت هذه الدراسة على الطريقة النسبية في قياس المقاطع العرضية استنادا للمعادلة:

 $\sigma_i = (D_i \alpha_r \beta_r \kappa_r / D_r \alpha_i \beta_i \kappa_i) \sigma_r$ (2)

$$eta = (1 - e^{-\lambda t_i})(1 - e^{-\lambda t_c})$$
و $e^{-\lambda t_d}$ $\alpha = I_r$ ن $\frac{m_r^2 + N_A}{M_j \lambda}$ α وير مز i للمرجع.

استخدم التفاعل 27 Al $(n,p)^{27}$ Mg مرجعا لنواتج النويدات ذات العمر النصفي القصير، والتفاعل 27 A 1 A $^{$

ولحساب متوسط المقاطع العرضية استخدم اسلوب التحليل العددي الطيفي لمنحنيات الشدة النسبية لطيف النيوترونات المميزة للمصدر النيوتروني امريشيوم- بريليوم 241 Am\Be المنشورة في المصدرين (1) و (2)، اخذت قيم المقاطع العرضية المناظرة لطاقات النيوترون من المنحنيات التي تصف العلاقة بين طاقة النيوترون والمقطع العرضي المناظرلها لكل تفاعل من البحث المنشور من قبل Victoria et.al. (7) .

لغرض ايجاد متوسط المقطع العرضي حسابيا طبقت المعادلة التقريبية التالية:

$$\sigma_{\text{Ave}} = \frac{\sum_{j=1}^{n} \sigma_{j} N_{j}}{\sum_{j=1}^{n} N_{j}}$$
 (3)

حيث ان σ المقطع العرضي للنيوترون و N الشدة النسبية له.

ولإجراء الحسابات فقد استخدم برنامج ANCSC بلغة الفورتران(6) المبني لهذا الغرض. يشير الجدول (1) الى القيم العددية التي تم الحصول عليها بالطريقة العددية للتحليل الطيفي ازاء كل تفاعل ومعدلهما.

النتائج والمناقشة:

تم اعتماد قيمة المقطع العرضي لتفاعل 27 Mg مساوية لمقدار 27 4 مساوية لمقدار 27 4 مأي بارن ليكون مرجعا للتفاعلات المدروسة، وهي مساوية للقيمة المقاسة من قبل الباحث Pppo بارن ليكون مرجعا للتفاعلات المدروسة، وهي مساوية لقيمة الدراسة حيث كانت 20.78 ملّي بارن، أما التفاعل 27 4 القيم المحسوبة في هذه الدراسة حيث كانت 27 4 فقد قيس متوسط المقطع العرضي له عند الخط الكامي 27 4 فقد قيس متوسط المقطع العرضي له عند الخط الكامي 27 4 النفاعل 27 4 النفاعل 27 4 النفاعل 27 4 النفاعل 27 5 ملّي بارن.

قيس متوسط المقطع العرضي لتفاعل 27 Mg $(n,p)^{24}$ Na عند الخط الكامي المقطع العرضي التفاعل 27 Al $(n,\alpha)^{24}$ Na عند نفس الخط الكامي الكامي 1368.633 KeV نسبة الى التفاعل 27 Al $(n,\alpha)^{24}$ Na عند نفس الخط الكامي وكانت القيمة مساوية 28 Al ملي بارن. أما التفاعل 28 Si $(n,p)^{28}$ Al فقد كان متوسط القيمة المقاسة 28 Si $(n,p)^{28}$ Al مللي بارن. أما التفاعل 28 Al

ملّي بارن وهي مطابقة للقيمة المحسوبة من قبل الباحث Rppo، وللتفاعل 52 Cr $(n,p)^{52}$ V و 52 Cr $(n,p)^{56}$ Mn والتفاعل 56 Fe $(n,p)^{56}$ Mn فقد كانتا 56 Fe $(n,p)^{56}$ Mn و 56 Mn فقد كانتا 58 Ni $(n,p)^{58}$ Co فقد الدراسة وبحدود من 10-25%. وأخيرا التفاعل 58 Ni 58 Mi 58

يشير الجدول (2) الى بعض خصائص التفاعلات المدروسة وقيم متوسط المقاطع العرضية المحسوبة والمقاسة للتفاعلات المرجعية لها.

الاشكال الطيفية (1)، (2)، (3)، (5)، (6)، (6) تمثل نماذج من أطياف أشعة كاما الناتجة من تشعيع العينات المختبرية MgO, SiO, CrO, NiCl على الترتيب وصفائح من المادة النقية للحديد Fe والالمنيوم AI باستخدام المصدر النيوتروني امريشيوم - بريليوم لفترات تشعيع مختلفة لا تقل عن خمسة أضعاف عمر النصف لكل ناتج من نواتج التفاعل.

المصادر:

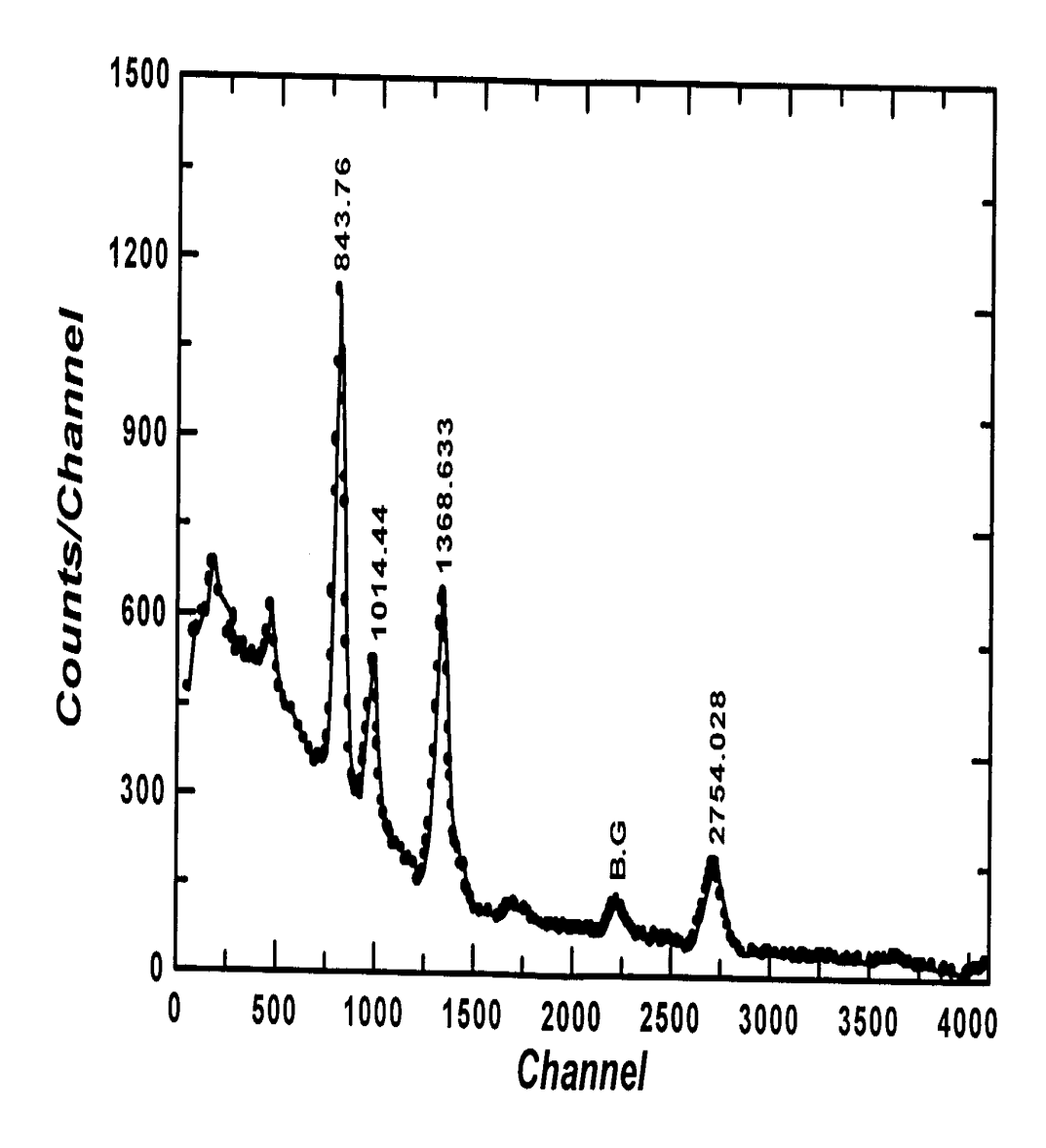
- 1. IAEA, "Radiological Characterization of Shut Nuclear Reactors for Decommissioning Purposs", Technical Reports No.389, IAEA, Vienna, 1988.
- 2. Pavlik, A., H. Hitzenberger-Schauer, H. Vonach M.B. Chadwick, R.C. Haight, R.O. Nelson, P.G. Young, Phys. Rev. C57, No 5(1988) 2416.
- Cserpak, F., S. Sudar, J. Csikai, and S. M Qaim, Phys. Rev. C 49, No3(1994) 1525.
- 4. Ali, M. A.; 2nd Conference on Nuclear and Particle Physics, 13-17 Nov.1999, Cairo, Egept.
- 5. Abdulla A. Al-Shamy, Ph.D thesis, University of Baghdad, College of Education, Sept. 2001.
- 6. De Guarrini. F. & Malaroda. R, Nucl. Instr. And Meth., 92(1971) 277.
- 7. Victoria McLane, C. L. Dunford and P. F. Rose, "Neutron Cross Section Curves", Volume 2, Academic Press Inc., 1988.
- 8. Rppo, R., Nucl. Ins. and Methods, 159(1979) 449-453.

	This Work			Ref. 8.
Reaction	σ_{av1} (mb)	σ_{av2} (mb)	σ_{av}^{meanl} (mb)	$\sigma_{av}^{\it mean2}$ (mb)
²⁴ Mg (n,p) ²⁴ Na	7.72	8.50	8.11	-
²⁷ Al (n,p) ²⁷ Mg	20.59	20.97	20.78	29
²⁸ Si (n,p) ²⁸ Al	69.31	78.28	73.80	75
⁵² Cr (n,p) ⁵² V	10.10	10.17	10.13	13
⁵⁶ Fe(n,p) ⁵⁶ Mn	12.75	13.47	13.11	9.6
⁵⁸ Ni (n,p) ⁵⁸ Co	127.13	133.39	130.26	-

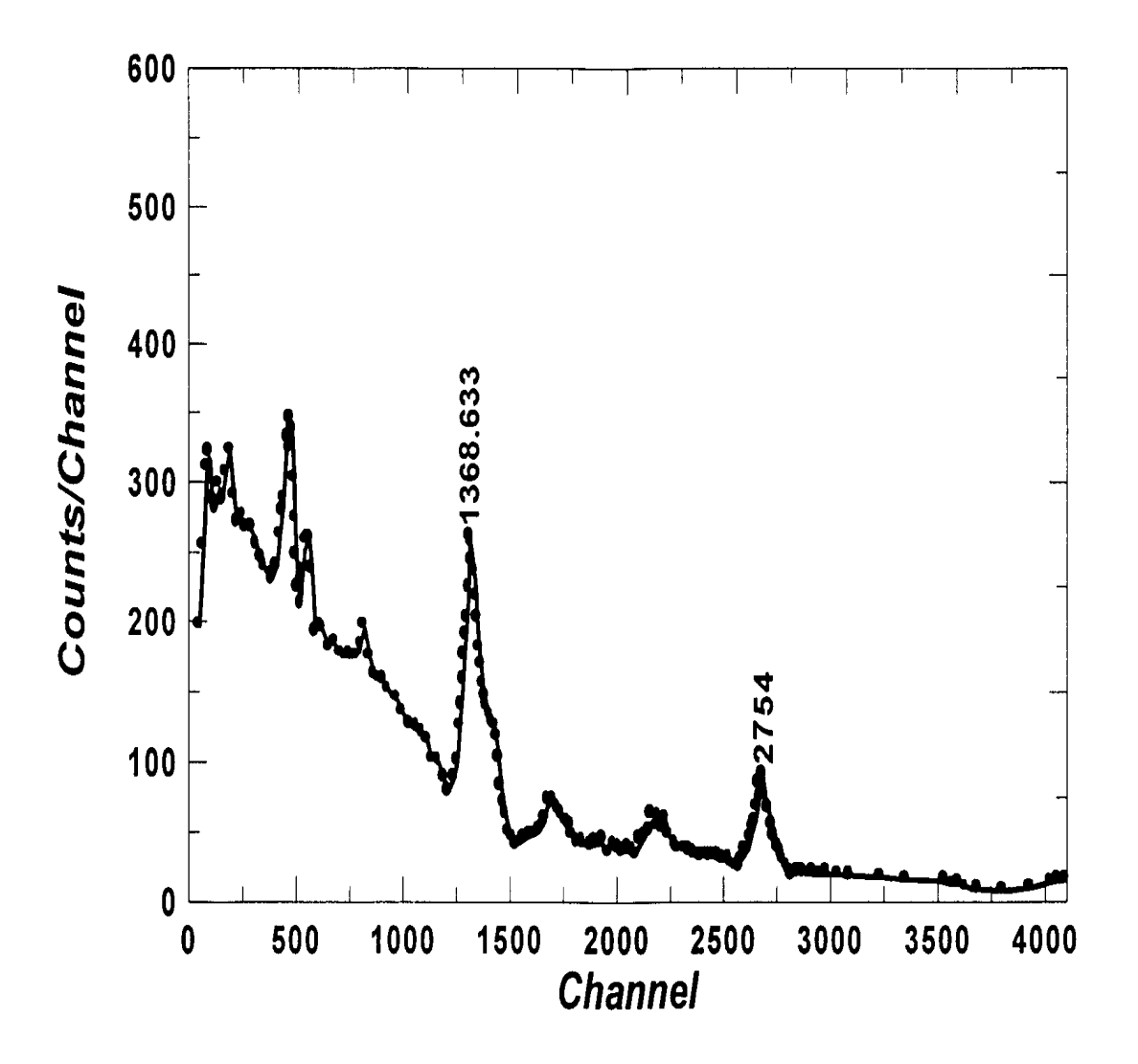
جدول (1) معدل متوسط المقاطع العرضية المحسوبة باستخدام برنامج ANCSC مقارنة مع نتائج اخرى

جدول (2) متوسط المقطع العرضي) محسوب ومقاس (التفاعل)n,p(باستخدام المصدر النيوتروني 241Am\Be

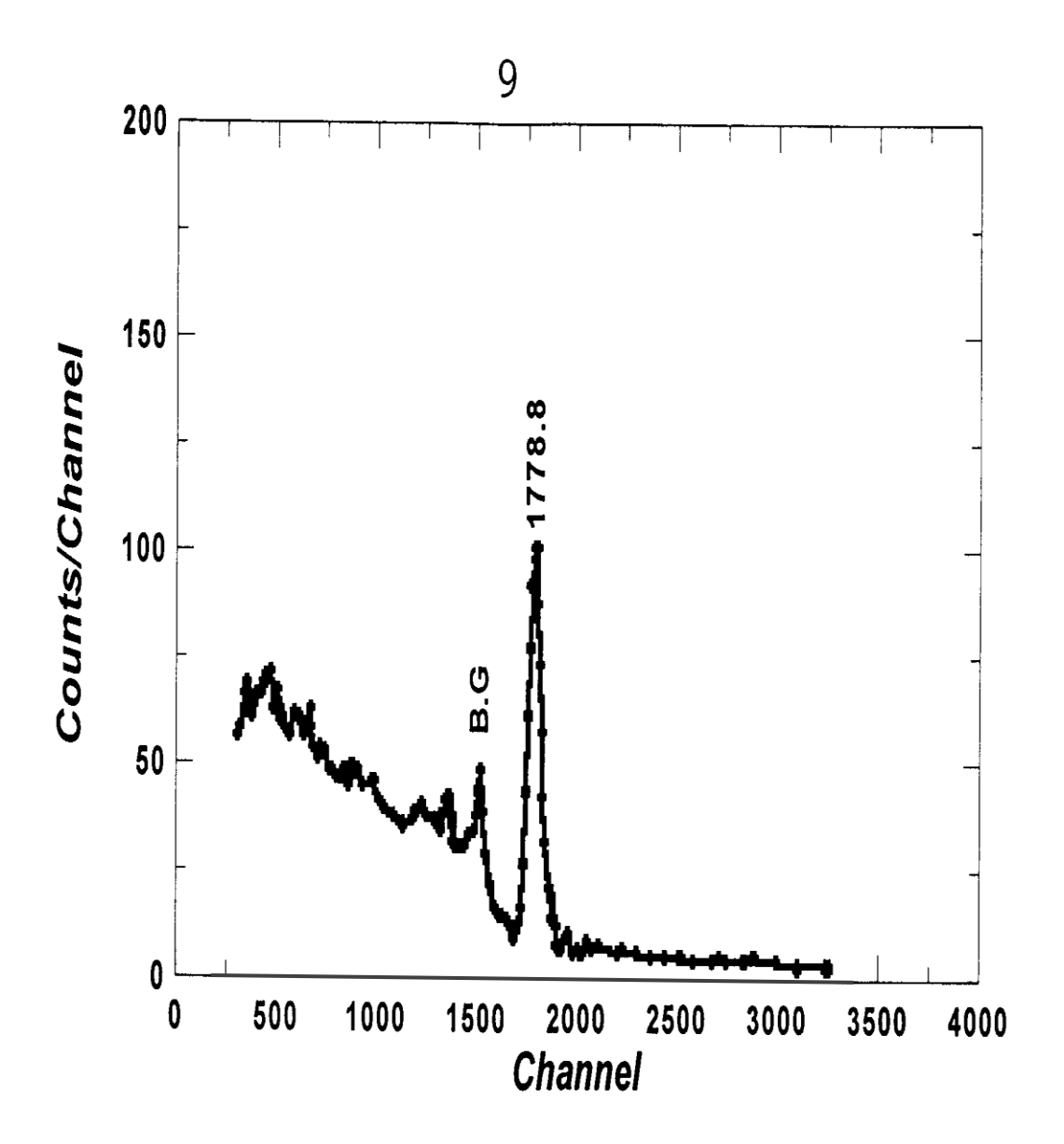
Reaction	Ξ.,	E, KeV	% ¹ I	Calculate Sec	Calculated Cross - Section	Measure Sec	Measured Cross - Section	Reference	Reference Cross - Section	tion
	1/ Z			This work	Ref. [7, 8]	This	Ref. [7, 8]	Reaction	$E{_{\gamma}}KeV$	I, %
²⁴ Mg (n.p) ²⁴ Na	14.3959 h	1368.63 3	100	8.11	•	10.62±0.1		²⁷ Al(n,α)²⁴Na	1368.633	100
²⁷ A! (n,p) ²⁷ Mg	9.462 min.	843.76 1014.44	71 28	20.78	25	•	20±4		•	•
²⁸ Si (<u>n,p</u>) ²⁸ Al	2.2414mi n	1778.85	100	73.80	75	75.62±9.5	128±30	²⁷ AI(n.p) ²⁷ Mg	1014.44	28
25Cr (n.p) ^{52V}	3.75 min	1434	100	10.13	13	8.74±0.66	7±2	²⁷ Al(n.p) ²⁷ Mg	1014.44	28
⁵⁶ Fе(<u>п,р</u>) ⁵⁶ Мп	2.579 h	846.754	27.19	13.11	69'6	9.84±1.22	14±4	²/Al(n,α)²⁴Na	1368.633	100
⁵⁸ Ni (<u>n,p</u>)⁵8Co	70.86 d	810.775	84.63	130.26	X-	145.3±5.0	·	²⁷ Al(n,α) ²⁴ Na	1368.633	100



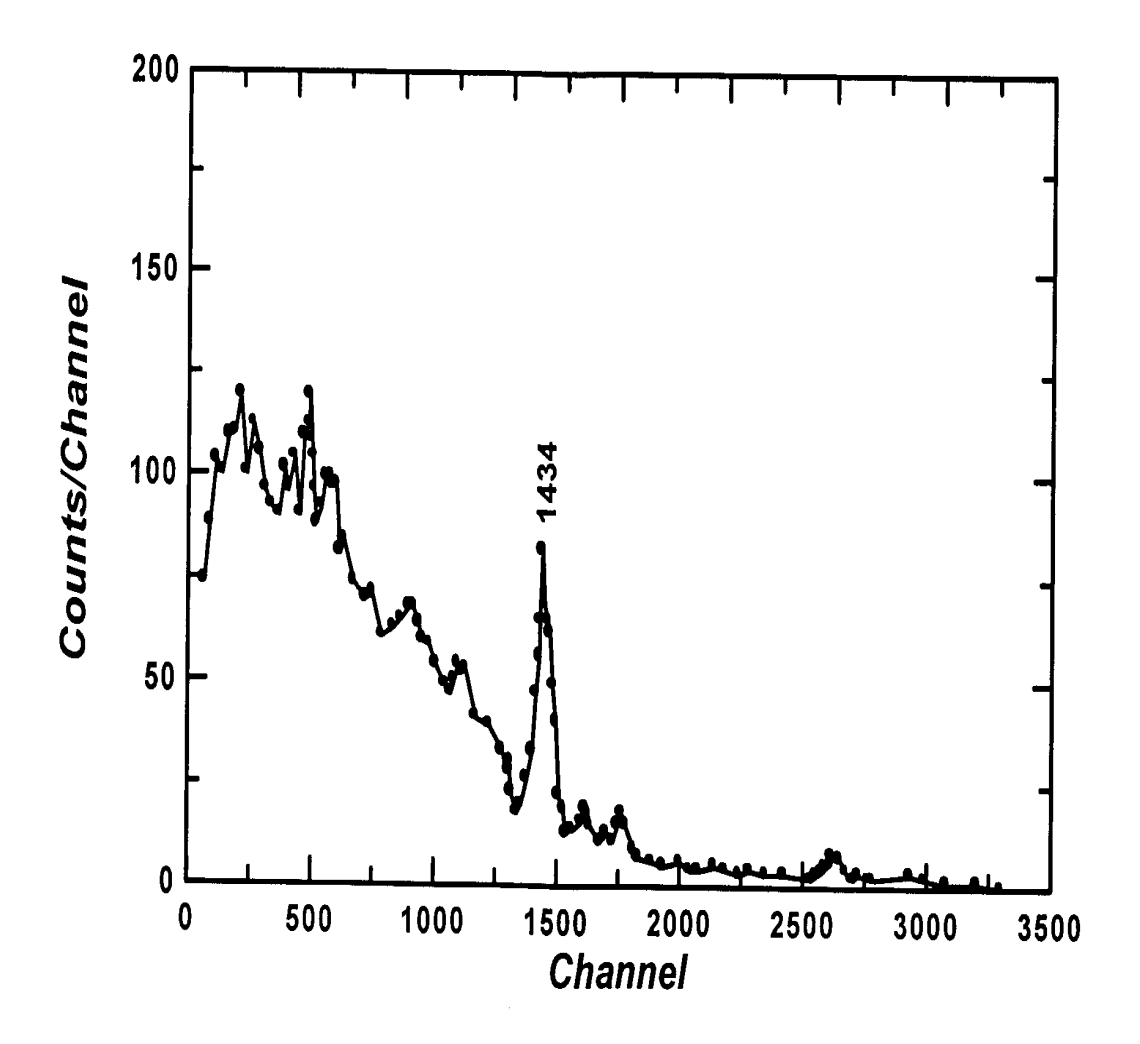
شكل (1): طيف أشعة كاما الناتج من التفاعل 27 Al $(n,p)^{27}$ Mg والتفاعل 24 Mg $(n,p)^{24}$ Na



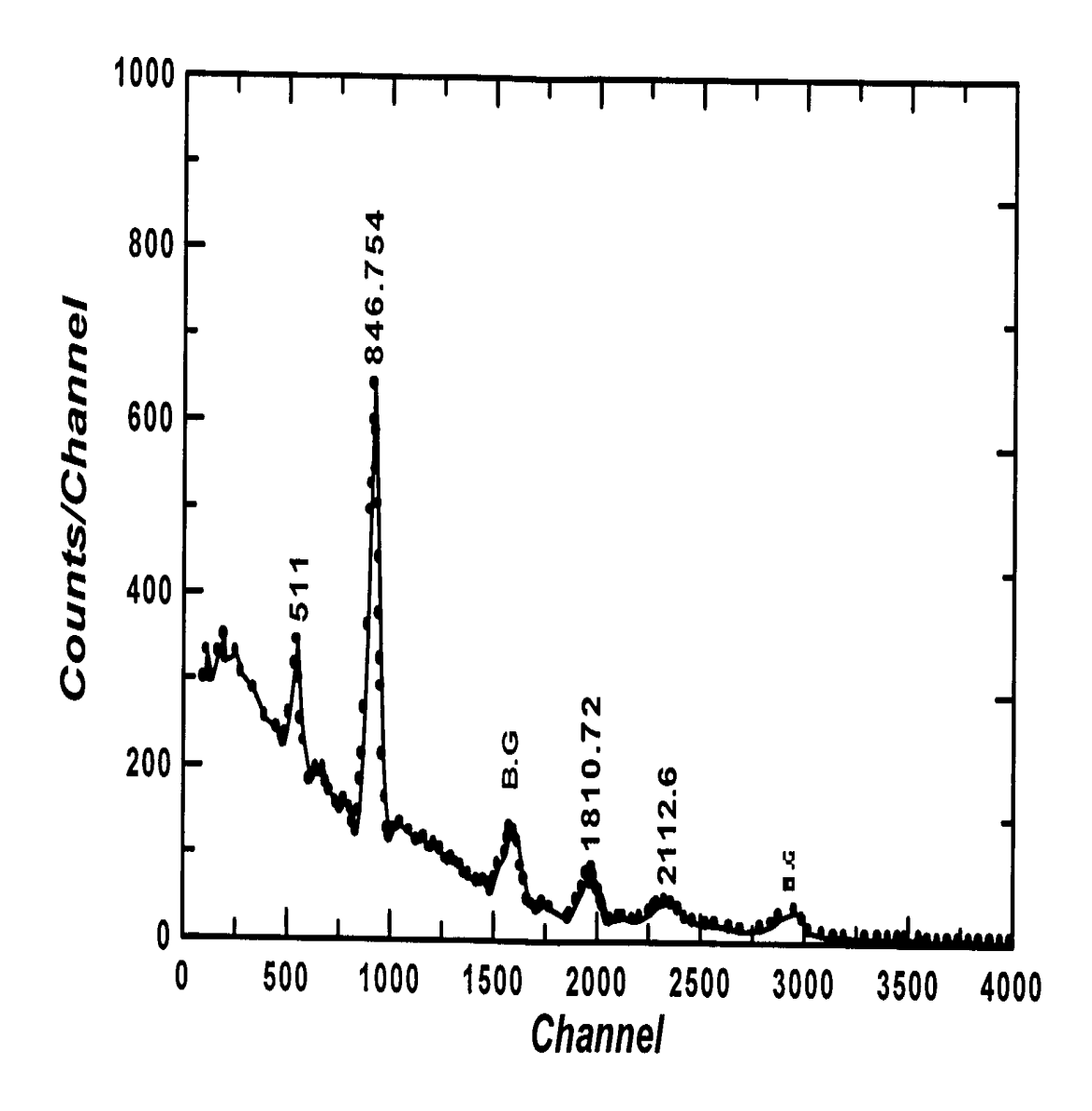
 $^{24}~{
m Mg}~({
m n,p})^{24}{
m Na}$ شكل (2) طيف أشعة كاما الناتج من التفاعل رمن التجميع لمدة ساعة.



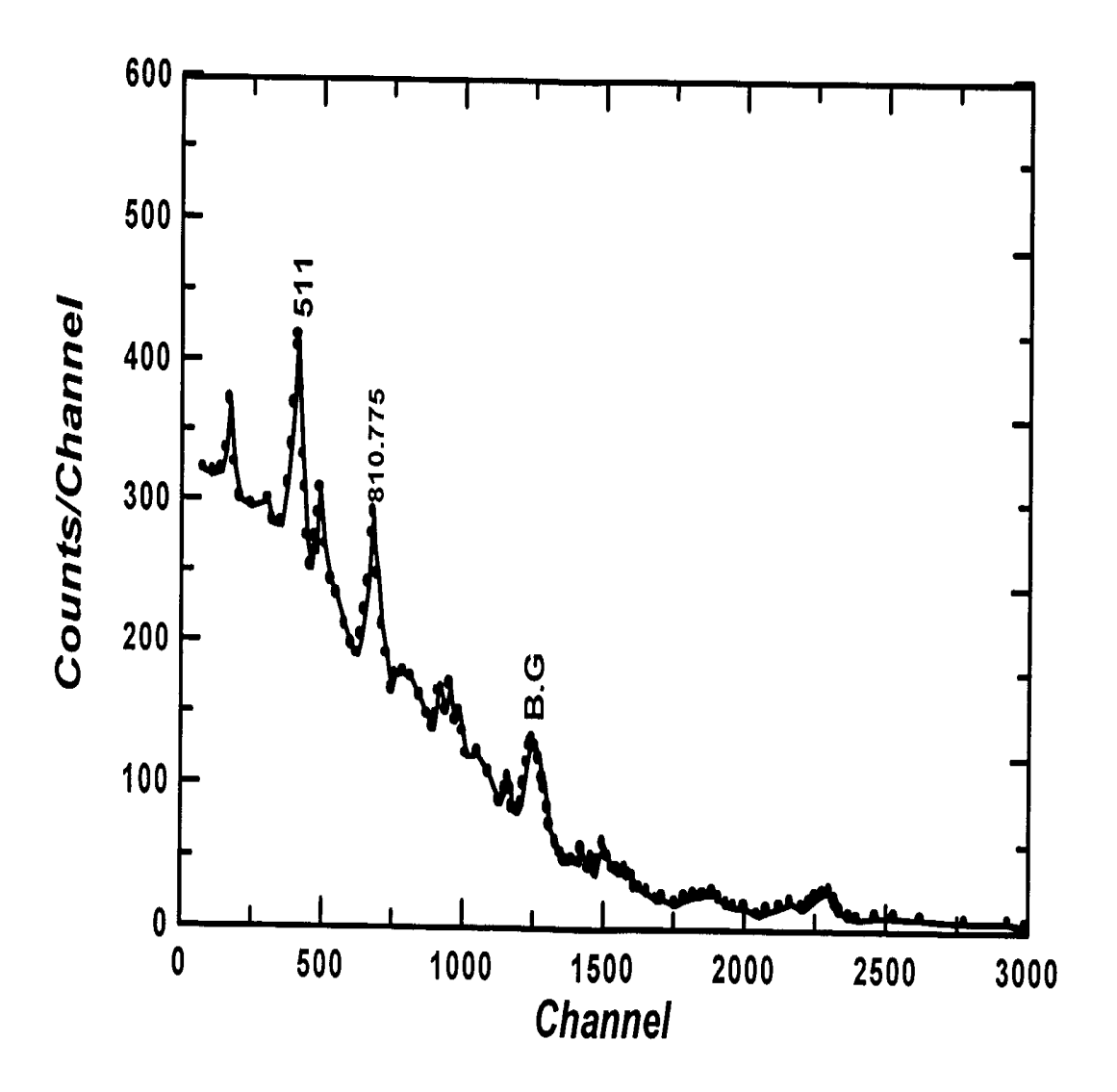
 $^{28}\mathrm{Si}(\mathrm{n,p})^{28}\mathrm{Al}$ شكل (3) طيف أشعة كاما الناتج من التفاعل زمن التجميع لمدة عشر دقائق.



 $^{52}{
m Cr}~(n,p)^{52}{
m V}$ شكل (4) طيف أشعة كاما الناتج من التفاعل زمن التجميع لمدة نصف ساعة.



 $^{54}{
m Fe(n,p)}^{54}{
m Fe}$ والتفاعل $^{56}{
m Fe(n,p)}^{56}{
m Mn}$ والتفاعل $^{56}{
m Fe(n,p)}^{54}$ والتفاعل $^{56}{
m Fe(n,p)}^{54}$ والتفاعل $^{56}{
m Fe(n,p)}^{54}$ والتفاعل $^{56}{
m Fe(n,p)}^{54}$ والتفاعل $^{56}{
m Fe(n,p)}^{54}$



 58 Ni $(n,p)^{58}$ Co ليف أشعة كاما الناتج من التفاعل (6) طيف أشعة كاما الناتج من التجميع لمدة ساعة.